

## 走行荷重による吊橋の振動

東京大学工学部 正員 平井 敦  
同 同・伊藤 学

## 1. ま と め

長径両吊橋を鉄道橋として用いる場合の一つの問題点は、高速で走行する重車両が吊橋に有害な振動を起さないか、またその動的効果はいかほどのものかということにある。筆者らはかなり以前よりその研究に着手し、理論的研究の概要是既に既報<sup>\*</sup>されており、ここでは未だ公けられていない実験的研究の結果を紹介して理論的推論の妥当性を論じ、あわせて実橋計画案に対して行った計算の結果を報告する。なおここで扱うのは吊橋の鉛直たわみ振動であって、列車走行に伴う吊橋のねじれおよび横振動については小れない\*\*。

## 2. 計算の過程と結果

まず荷重の重量のみ考慮し、これが一定速度で走行するときの動的応答を modal analysis により求めめる。対象としたのは図-1に示すようなもとも一般的な側径間を有する2ヒンジ吊橋で、補剛げたの曲げモーメントの計算においても三次以上の標準振動項は実用上無視してもさしつかえないことが確かめられたので、振動モードは各スパン3次まで考慮した。

吊橋は荷重進入時に静止しているものとしたが、主径間(M)および側径間(S<sub>2</sub>)に対してはそれなりに図-1の支点②, ③上に荷重がかかるときの各スパンの振動を初期条件として用ひなければならぬ。列車のような連続(分布)荷重が走行するときも計算の過程は同様である。結果は次式で定義されるようす、着目点多における衝撃係数で整理した。ここに  $\gamma_d$  は動的たわみ、  $\gamma_s$  は静的最大たわみで、曲げモーメントなどの衝撃係数に対する同じような表現を用いた。

$$\text{たわみの衝撃係数: } i_d(\beta) = \frac{\gamma_d(\beta)}{\gamma_s(\beta)} - 1$$

主径間 500, 1000, 1500 cm の3種の吊橋上で、集中荷重および長さ 400 m の列車荷重が走行する場合の計算結果の代表例を図-2 および図-3 に示す。図-2 における横軸の  $\alpha$  は次式で定義された速度パラメータで、主径

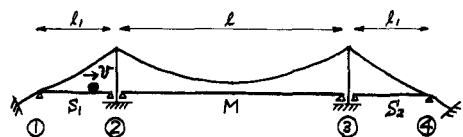
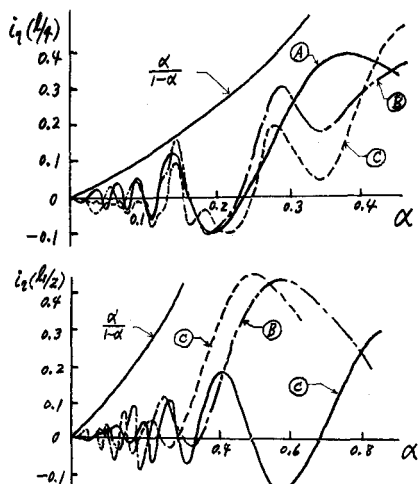


図-1



	$l$ (m)	$l_1$ (m)
A	500	147
B	1000	300
C	1500	540

図-2 集中荷重走行によるたわみ衝撃係数

\*たとえば A. Hirai & M. Ito: Impact on Long-span Suspension Bridges, Proc. Symp. on High-rise & Long-span Str. (1964)

\*\*日本鉄道建設公団: 本州四国連絡鉄道吊橋技術調査委員会中期報告書 (1961) に開示する項目の検討がなされている。

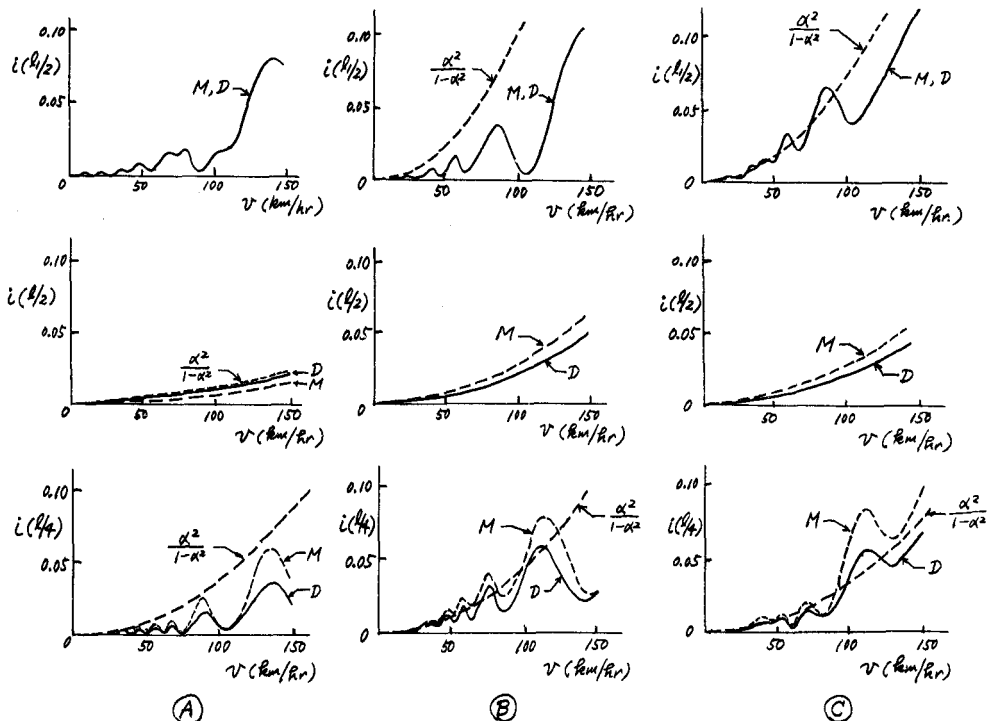


図-3 分布荷重(400m)走行に伴う衡重係数理論計算値

向に対しては  $r=2$ , 側径向に対しては  $r=1$  とした。  $\omega_r$  は  $r$  次固有円振動数である。

$$\text{速度パラメータ} : \alpha = \frac{r\pi}{\omega_r} \frac{v}{L}$$

図-2の  $\alpha/(1-\alpha)$  曲線はもっとも支配的と思われるモードを一つだけ考慮したとき衡重係数の期待した最大値で、長径向吊橋では  $\omega_r \sqrt{f}$  および  $f/L$  ( $f$ : テーブル量距) がほぼ一定とみなしてこので  $K$  を定義として

$$i = \frac{1}{K(\sqrt{\alpha} - 1)}$$

と考査することができる。また分布荷重走行の場合は  $\alpha^2/(1-\alpha^2)$  曲線がこれに相当するが、これは 1 個のみ支配的という概念は誤差の大きさがそれである。図-3の中の D はたかめ、M は複数軌道の曲げモーメントに関する衡重係数である。図-4には複数軌道上で交差走行する場合の例があり、図-2に対応する結果ととして変わらない数値を示している。これらの計算では減衰の影響は考慮しないが、吊橋において通常期待した減衰が結果に与える影響は数パーセントにすぎない。

### 3. 模型実験による検証

主径向 540, 800, 1100, 1400 (cm) の 4 種の規模の実橋と、相似則を考慮して  $1/67 \sim 1/100$  の縮尺した模型について車両模型の走行実験を行なった。吊橋模型は基本形の死荷重を変え、あるいは側径向を除し、各種ステイを併用するなど、個数としては 20 を越えていた。

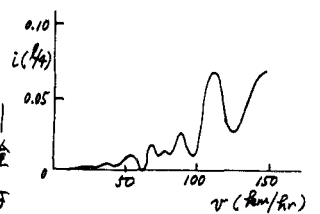
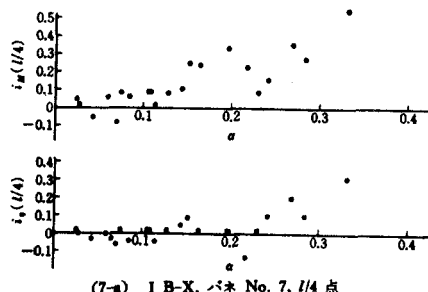
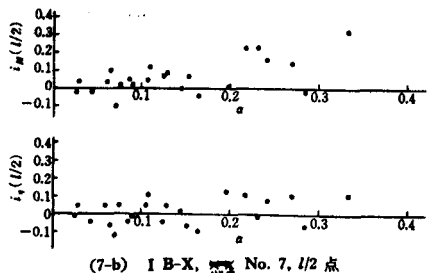


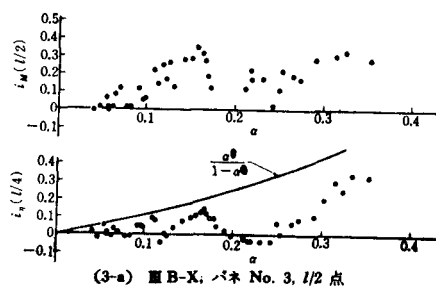
図-4 複数交差走行(③, 大模型)



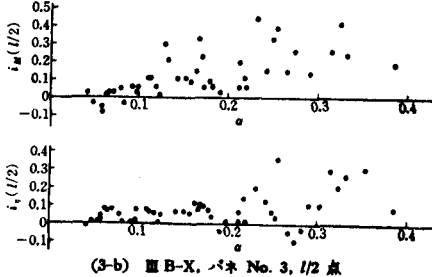
(7-a) I B-X, バネ No. 7,  $l/4$  点



(7-b) I B-X, バネ No. 7,  $l/2$  点

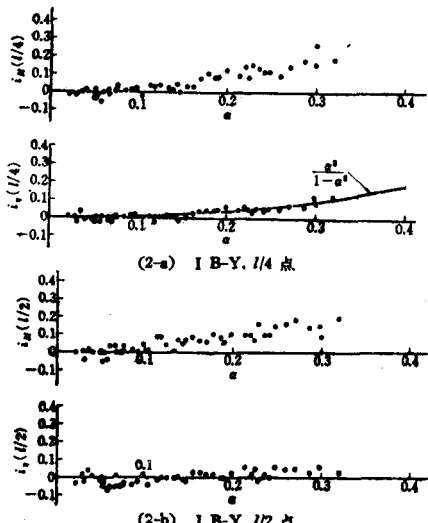


(3-a) I B-X, バネ No. 3,  $l/2$  点

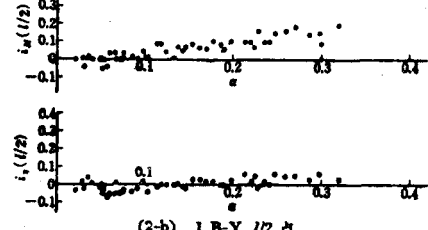


(3-b) I B-X, バネ No. 3,  $l/2$  点

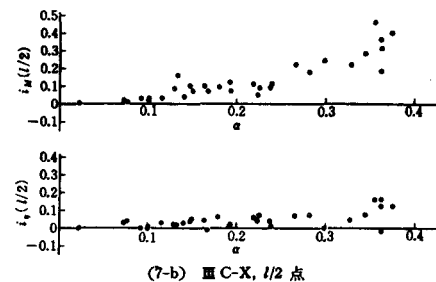
図-5 集中荷重走行に伴う衝撃 (I: 実橋  $l=540m$ , II: 実橋  $l=1100m$ )



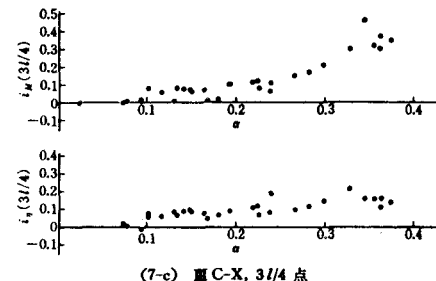
(2-a) I B-Y,  $l/4$  点



(2-b) I B-Y,  $l/2$  点



(7-b) I B-Y,  $l/2$  点



(7-c) I B-Y,  $3/4 l$  点

図-6 列車荷重走行に伴う衝撃 (Y字側径向付き)

車両模型は1軸車両と連行車両で、いずれも実際の鉄道車両の重量と相比例によって縮尺した。

一方、この1軸車両に板バネを挿入したもの、および蒸気式簡易車の駆動作用を發揮させすべく車輪に不平衡重錠を付したものによる走行実験も実施した。

吊橋の固有振動性状は、代表的車両について10次以上の高次までの振動数と対数減衰率を測定した。これらの結果に基づいて詳細に述べる余地はないが、対数減衰率はほとんどが0.01～0.10の範囲にあり、実橋と大きな差異はないものと認められた。また高次になると対数減衰率が増すよう直線的傾向はまったく見られなかった。

荷重走行に伴う吊橋の振動測定結果は、前回の実験結果と速度パラメータの関係で整理した。たゞしこの場合、 $\zeta_{\text{d}}$  は動的最大値とされている。單純走行の場合については、車両バネの有無は結果としてほとんど差異がなかったので、図-5にバネ付き荷重走行の例を示す。図-6は連行荷重走行の実験結果、図-7は連行荷重走行の場合の側径向中央における衝撃係数測定値の一例である。模型実験ではレールの平坦度もあまりよくなく、また牽引装置も橋および車両と離して設けたので走行速度を完全に一定に保つことも必ずしも、オシロ記録からデータ整理までの誤差の累積もあって、測定結果のばらつきはかなり大きい場合があるが、図-5の(7-a), (3-a)などは理論上の結果となりより一覧で示してある。しかし曲げモーメントの衝撃係数のばらつきは一層顕著で、これは図-8のオシロ記録例(振動応答)を参照して明らかのように、曲げモーメント記録に由来する振動が混入しているのが原因と思われる。この微振動は吊橋全体としての固有振動といふより、むしろ模型の特殊性による局部的な振動と考えられる。図-8でもたかみ記録においては低次2種ぐらいいの振動が支配的で、連行荷重走行による振動は單純走行のときより明らかに小さい。

これらの結果より、荷重重量の影響、補剛度に対する波動伝播の影響、車両バネの影響などは上記のスパンおよび荷重速度の範囲内ならばさきかめて小さいことが実験的にも裏付けられた。しかし荷重の走行速度が200 km/hrを越えるような場合には、特に波動伝播に起因する速度振動の影響は無視できなくなるものと思われる。

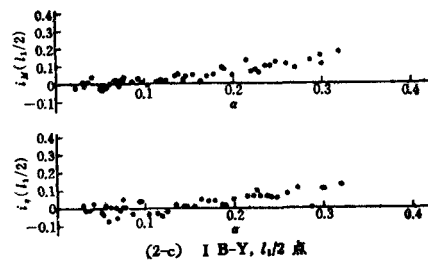


図-7 側径向中央における衝撃係数実験例

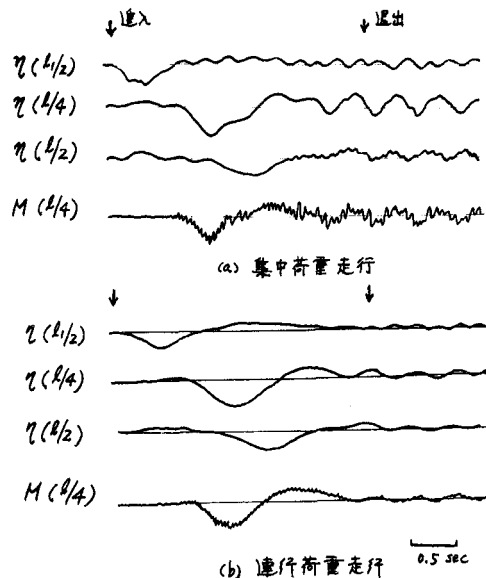


図-8 オシロ記録の例(側径向付き吊橋模型)